

# Параметры порядка в слаболегированном марганцем галлате лантана и парамагнитный резонанс

© В.А. Важенин, А.П. Потапов, М.Ю. Артёмов, В.Б. Гусева

Уральский государственный университет им. А.М. Горького,  
Екатеринбург, Россия

E-mail: vladimir.vazhenin@usu.ru

(Поступила в Редакцию 21 декабря 2009 г.)

В слаболегированном марганцем галлате лантана обнаружены центры  $\text{Cr}^{3+}$ , при комнатной температуре идентифицированы переходы и определены параметры спинового гамильтонина триклинических центров  $\text{Cr}^{3+}$  и  $\text{Fe}^{3+}$ . В результате нахождения главных осей тензора тонкой структуры четвертого ранга триклинических центров  $\text{Fe}^{3+}$  определены параметры порядка — углы поворота кислородных октаэдров галлата лантана относительно структуры перовскита. Проведена оценка параметра порядка в ромбоэдрической фазе.

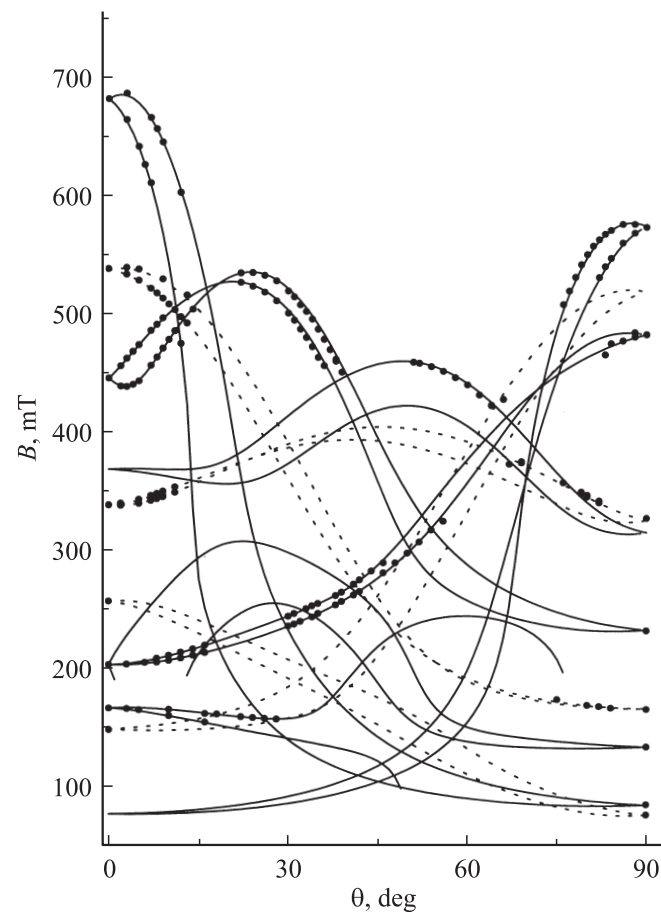
Работа выполнена при поддержке гранта программы Рособразования и CRDF BRHE (Y4-P-05-01).

**1.** Магниторезонансные исследования мanganита лантана с диамагнитным разбавлением марганца галлием в полном диапазоне концентраций проведены авторами [1–3]. В работах [4,5] методом парамагнитного резонанса подробно исследованы монокристаллы  $\text{LaGaO}_3$ , легированные марганцем с концентрацией 0.5, 2.0 и 5.0 mol.%. В слаболегированных кристаллах обнаружены центры  $\text{Gd}^{3+}$  ( $S = 7/2$ ),  $\text{Fe}^{3+}$  ( $S = 5/2$ ) и  $\text{Mn}^{4+}$  ( $S = 3/2$ ). Ионы  $\text{Gd}^{3+}$  замещают позицию лантана, ионы  $\text{Fe}^{3+}$  и  $\text{Mn}^{4+}$  — позицию галлия [4]. Увеличение в кристалле полной концентрации марганца до 2 mol.% приводит к появлению центров  $\text{Mn}^{2+}$  ( $S = 5/2$ ). При концентрации 5 mol.% изолированные ионы  $\text{Mn}^{4+}$  не детектируются, тогда как количество центров  $\text{Mn}^{2+}$  существенно увеличивается. Определены концентрации и относительные энергии связи изолированных ионов  $\text{Mn}^{4+}$ ,  $\text{Mn}^{3+}$  и  $\text{Mn}^{2+}$  [5]. Для тригональных центров  $\text{Gd}^{3+}$ ,  $\text{Fe}^{3+}$ ,  $\text{Mn}^{4+}$ ,  $\text{Mn}^{2+}$  в высокотемпературной фазе  $R\bar{3}c(D_{3d}^6)$  и для моноклинного центра  $\text{Gd}^{3+}$ , а также триклинического  $\text{Mn}^{4+}$  в низкотемпературной фазе  $Pbnm(D_{2h}^{16})$  определены параметры спиновых гамильтонианов  $H_{sp}$ . Обнаружено, что переход слаболегированного  $\text{LaGaO}_3$  в ромбоэдрическую фазу происходит при 430 K, для кристаллов с 5 mol.% марганца температура структурного перехода повышается до 475 K [4,5].

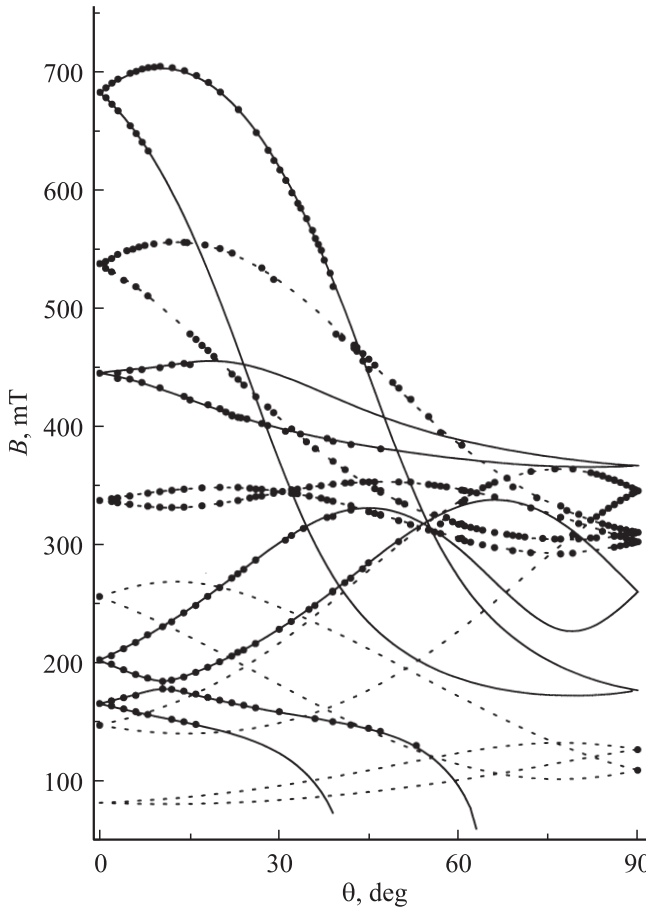
Настоящая работа в основном посвящена определению по данным ЭПР искажений окружения парамагнитных дефектов в галлатае лантана относительно структуры перовскита, т. е. оценке величин ротационных параметров порядка — углов разворота кислородных октаэдров в орторомбической и ромбоэдрической фазах.

**2.** Измерения проводились на спектрометре ЭПР трехсанитметрового диапазона EMX Plus фирмы Bruker. Погрешность измерения температуры составила  $\pm 1$  K. Как и в работах [4,5], исследовались монокристаллы  $\text{LaGaO}_3$  с примесью диоксида марганца (концентрация в шихте 0.5 mol.%), выращенные Лутцем в Университете Норфолка (Вирджиния, США) методом Чохральского в слабо окислительной атмосфере.

В работе [5] указывалось, что определение ориентации окружающего магнитный ион кислородного октаэдра возможно путем нахождения главных осей тензора тонкой структуры четвертого ранга, которые присутствуют в  $H_{sp}$  центров  $\text{Fe}^{3+}$ ,  $\text{Mn}^{2+}$ . В высокотемпературной фазе



**Рис. 1.** Угловые зависимости резонансных положений центров  $\text{Cr}^{3+}$  и  $\text{Fe}^{3+}$  при комнатной температуре в плоскости  $zx$ . Точки — эксперимент, сплошные кривые —  $\text{Fe}^{3+}$ , штриховые —  $\text{Cr}^{3+}$ .



**Рис. 2.** Ориентационное поведение резонансных положений центров  $\text{Cr}^{3+}$  и  $\text{Fe}^{3+}$  в плоскости  $xy$ . Обозначения те же, что на рис. 1.

тригональные центры  $\text{Fe}^{3+}$ ,  $\text{Mn}^{4+}$ ,  $\text{Mn}^{2+}$  (группа позиции  $3(S_6)$ ) демонстрируют (в исследованных ориентациях) аксиальное поведение, что не позволяет определить углы поворота октаэдра.

Центры марганца и железа, замещая ионы  $\text{Ga}^{3+}$ , в низкотемпературной орторомбической фазе в пределах каждого ориентационного сегнетоэластического домена имеют магнитную кратность 4 (группа позиции  $\bar{1}(C_i)$ ), переходя друг в друга при отражении в плоскостях, нормальных к осям **a**, **b**, **c** группы  $Pbnm$  ( $D_{2h}^{16}$ ) [6]. Попытка идентификации сигналов, наблюдавшихся при комнатной температуре, не имеющих разрешенной сверхтонкой структуры, а также демонстрирующих магнитную кратность 4 и поэтому отнесенных нами к переходам триклинических центров  $\text{Fe}^{3+}$ , не привела к успеху. Ориентационное поведение этих сигналов в трех плоскостях представлено точками на рис. 1–3, отсутствие экспериментальных точек на некоторых зависимостях в широком диапазоне углов связано в первую очередь с наличием в этих областях интенсивных сигналов  $\text{Mn}^{4+}$  и  $\text{Gd}^{3+}$ . Причина неудачи в расшифровке спектра центров  $\text{Fe}^{3+}$  при комнатной температуре стала очевидна, когда в

высокотемпературном спектре были обнаружены слабые сигналы центра со спином  $3/2$ , параметры  $H_{sp}$  которого оказались следующими:  $g = 1.977(2)$ ,  $b_{20} = 5585 \text{ MHz}$  ( $z \parallel C_3$ ,  $T = 438 \text{ K}$ ). Причиной появления центров хрома, вероятнее всего, является загрязнение диоксида марганца, используемого для легирования монокристаллов.

При комнатной температуре часть неидентифицированных сигналов была отнесена к центрам  $\text{Cr}^{3+}$ . Эти сигналы в сравнении с переходами центров  $\text{Fe}^{3+}$  имеют меньшую ширину и обнаруживают признаки сверхтонкой структуры, характерной для ионов хрома. В результате нам удалось отождествить переходы как центров  $\text{Cr}^{3+}$ , так и  $\text{Fe}^{3+}$  и с хорошей точностью описать поведение резонансных положений наблюдаемых спектров (рис. 1–3). Взаимное расположение системы координат параметров центров  $\text{Gd}^{3+}$ ,  $\text{Fe}^{3+}$ ,  $\text{Mn}^{4+}$ ,  $\text{Cr}^{3+}$  и кристаллографических осей  $\text{LaGaO}_3$  (при комнатной температуре), а также перовскита показано на рис. 4.

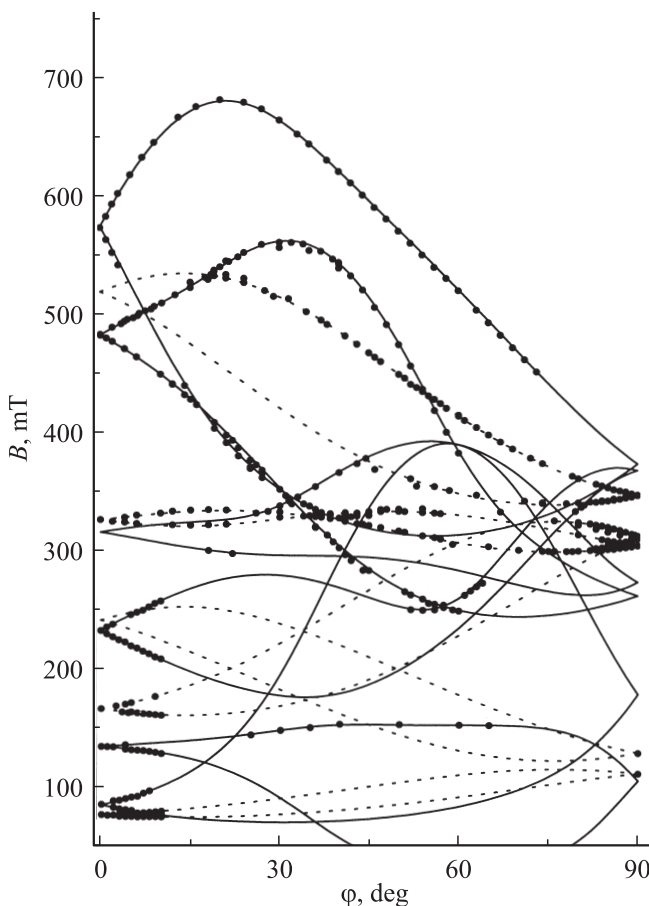
Спиновый гамильтониан триклинической симметрии для центров  $\text{Fe}^{3+}$  использовался в виде

$$H_{sp} = g\beta(\mathbf{BS}) + \frac{1}{3} \sum_m (b_{2m} O_{2m} + c_{2m} \Omega_{2m}) \\ + \frac{1}{60} \sum_m (b_{4m} O_{4m} + c_{4m} \Omega_{4m}), \quad (1)$$

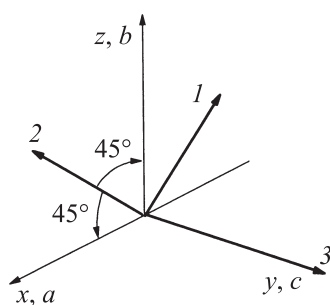
где  $g$  —  $g$ -тензор,  $\beta$  — магнетон Бора,  $\mathbf{B}$  — магнитная индукция,  $\mathbf{S}$  — электронный спиновый оператор,  $b_{nm}$ ,  $c_{nm}$  — параметры тонкой структуры,  $O_{nm}$ ,  $\Omega_{nm}$  — косинусоидальные и синусоидальные спиновые операторы Стивенса [7]. Для центров  $\text{Cr}^{3+}$  слагаемое с членами четвертого ранга отсутствует. Численная минимизация среднеквадратичных отклонений расчетных и экспериментальных частот переходов (243 значений для  $\text{Cr}^{3+}$ , 320 — для  $\text{Fe}^{3+}$ ) привела к параметрам  $H_{sp}$ , представленным в табл. 1. Знаки параметров приведены в предположении положительности  $b_{20}$ , методика оценки погрешностей описана в [5].

**Таблица 1.** Параметры триклинических спиновых гамильтонианов при комнатной температуре (среднеквадратичное отклонение  $F$  и параметры (кроме  $g_i$ ) приведены в MHz)

Параметр	$\text{Cr}^{3+}$ ( $S=3/2$ )	$\text{Fe}^{3+}$ ( $S=5/2$ )
$g_x$	1.978(3)	2.003(2)
$g_y$	1.982(3)	2.006(2)
$g_z$	1.982(3)	2.003(2)
$b_{20}$	2879(8)	2430(6)
$b_{21}, c_{21}$	-988(63)   3067(37)	-693(18)   2165(17)
$b_{22}, c_{22}$	-2357(12)   -1212(14)	-1729(9)   2332(8)
$b_{40}$		123(5)
$b_{41}, c_{41}$		628(25)   -627(24)
$b_{42}, c_{42}$		-1633(17)   60(21)
$b_{43}, c_{43}$		-540(110)   -3585(74)
$b_{44}, c_{44}$		-1336(21)   -194(23)
$F$	19	28



**Рис. 3.** Угловые зависимости резонансных положений центров  $\text{Cr}^{3+}$  и  $\text{Fe}^{3+}$  в плоскости  $xy$ . Обозначения те же, что на рис. 1.

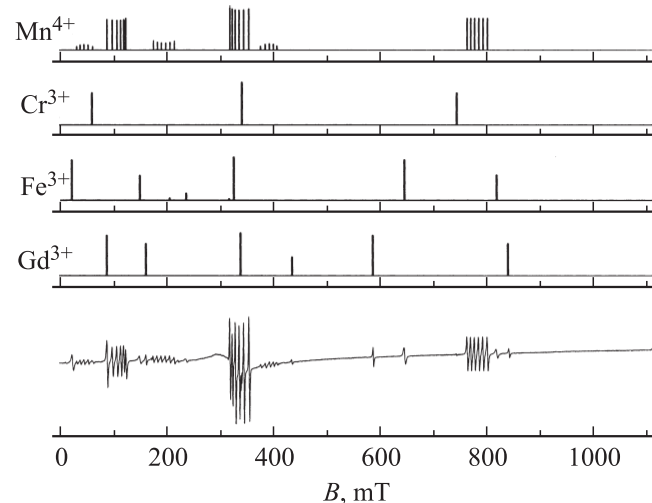


**Рис. 4.** Системы координат:  $a, b, c$  — галлата лантана ( $Pbnm$ );  $1, 2, 3$  — первовскита;  $x, y, z$  — всех исследованных нами парамагнитных центров.

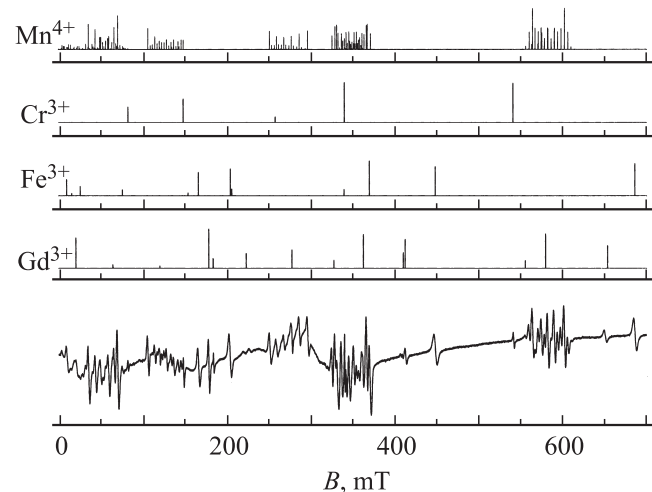
Параметры тонкой структуры для остальных магнитно-неэквивалентных центров получаются из приведенных в табл. 1 в результате изменения их знаков согласно правилам, суммированным в табл. 2 работы [5]. На рис. 5, 6 приведены экспериментальные и расчетные ЭПР-спектры центров  $\text{Gd}^{3+}$ ,  $\text{Fe}^{3+}$ ,  $\text{Mn}^{4+}$ ,  $\text{Cr}^{3+}$  в образце с 0.5 mol.% марганца при  $\mathbf{B} \parallel \mathbf{C}_3$  ( $T = 433$  K) и  $\mathbf{B} \parallel \mathbf{z}$  ( $T = 300$  K), соотношение расчетных интегральных интенсивностей справедливо только в пределах каждого

парамагнитного центра. При комнатной температуре и  $\mathbf{B} \parallel \mathbf{z}$  неэквивалентные в произвольной ориентации магнитного поля четыре центра ионов  $\text{Fe}^{3+}$ ,  $\text{Mn}^{4+}$ ,  $\text{Cr}^{3+}$  становятся эквивалентными, и поэтому их сигналы (рис. 6) представляют сумму переходов четырех центров.

Малая интенсивность сигналов ионов  $\text{Cr}^{3+}$  в ромбодирической фазе стимулировала исследование температурного поведения спектра в диапазоне 300–500 K. Проведенные измерения показали, что отношение интегральных интенсивностей центров  $\text{Cr}^{3+}$  и  $\text{Gd}^{3+}$  с учетом вероятностей переходов остается во всем диапазоне неизменным. Слабость сигналов ионов  $\text{Cr}^{3+}$  в ромбодирической фазе обусловлена большей, чем у  $\text{Gd}^{3+}$ , шириной. Температурная зависимость параметров  $b_{20}$  в интервале 430–500 K практически линейная, величины



**Рис. 5.** Экспериментальные и расчетные ЭПР-спектры центров  $\text{Gd}^{3+}$ ,  $\text{Fe}^{3+}$ ,  $\text{Cr}^{3+}$ ,  $\text{Mn}^{4+}$  в образце с примесью 0.5 mol.% марганца при  $\mathbf{B} \parallel \mathbf{C}_3$  ( $T = 433$  K).



**Рис. 6.** Экспериментальные и расчетные ЭПР-спектры центров  $\text{Gd}^{3+}$ ,  $\text{Fe}^{3+}$ ,  $\text{Cr}^{3+}$ ,  $\text{Mn}^{4+}$  в образце с примесью 0.5 mol.% марганца при  $\mathbf{B} \parallel \mathbf{z} \parallel \mathbf{b}$  ( $T = 300$  K).

$\Delta|b_{20}|/\Delta T$  отрицательны и имеют следующие значения: (в MHz/K):  $-1.1$  для  $\text{Gd}^{3+}$ ,  $-2.0$  для  $\text{Mn}^{4+}$ ,  $-1.77$  для  $\text{Cr}^{3+}$ ,  $-1.4$  для  $\text{Fe}^{3+}$ .

3. Получив для центров  $\text{Fe}^{3+}$  тензор тонкой структуры четвертого ранга, перейдем к определению углов разворота кислородных октаэдров галлата лантана, имеющего структуру первовскита, искаженного в результате конденсации комбинаций ротационных мод ( $\phi\psi\psi$ ) при комнатной температуре и ( $\phi\phi\phi$ ) в ромбоэдрической фазе [8,9], где  $\psi, \phi$  — компоненты мод  $M_3$  и  $R_{25}$  в обозначениях [10]. Поскольку интересны повороты кислородных октаэдров вокруг осей  $C_4$  первовскита, систему координат (СК) магнитного иона следует повернуть так, чтобы ее оси совпали с тетрагональными осями 1–3 (рис. 4). Для преобразования спинового гамильтонiana при поворотах СК использовались результаты [11,12].

Для случая  $Z \parallel 2$  ( $Z$  — ось квантования после поворота СК) компоненты тензора четвертого ранга  $\text{Fe}^{3+}$  равны (в MHz):  $b_{40} = -344$ ,  $b_{41} = -405$ ,  $b_{42} = 98$ ,  $b_{43} = 63$ ,  $b_{44} = -1665$ ,  $C_{41} = -1022$ ,  $c_{42} = -140$ ,  $c_{43} = -1199$ ,  $c_{44} = 920$ , при этом отношение  $b_{44}/b_{40} = 4.8$  близко к величине, характерной для кубических центров. Как показано в работах [13,14], только параметр  $c_{44}$  линейно зависит от угла поворота октаэдра и обращается в нуль при повороте вокруг  $Z$  на угол  $1/4 \cdot \arctg(c_{44}/b_{44}) = -7.2^\circ$ , при этом  $b_{44}$  достигает максимального значения. Указанный поворот приводит к следующим параметрам (в MHz):  $b_{40} = -344$ ,  $b_{41} = -278$ ,  $b_{42} = 130$ ,  $b_{43} = 500$ ,  $b_{44} = -1902$ ,  $c_{41} = -1064$ ,  $c_{42} = -111$ ,  $c_{43} = -1091$ ,  $c_{44} = 0$ .

Таким образом, главные оси тензора тонкой структуры четвертого ранга исходного центра  $\text{Fe}^{3+}$  повернуты вокруг  $Z \parallel 2$  от осей первовскита на  $-7.2^\circ$  (для центров, связанных с исходным отражением в плоскости  $xu$  или  $uz$ , поворот будет положительным), и, следовательно, локальный (на центре  $\text{Fe}^{3+}$ ) параметр порядка  $\varphi_y = 7.2^\circ$ . Аналогичные процедуры дают для поворотов кислородных октаэдров вокруг осей 1, 3 (рис. 4) значения, приведенные в табл. 2. Как видно, эти значения хорошо согласуются с поворотами осей октаэдра, следующими из структур, полученных в экспериментах по дифракции рентгеновских лучей [8] и нейtronов [15] на чистом  $\text{LaGaO}_3$ . Следовательно, примесный ион  $\text{Fe}^{3+}$  в минимальной степени влияет на величину параметров порядка в галлатае лантана.

В главных системах координат (при  $Z \parallel 1, 2$  или 3 и  $c_{44} = 0$ ) отношение  $b_{44}/b_{40}$  находится в диапазоне 5.5–5.8, что свидетельствует о достаточно слабой деформации окружающего кислородного октаэдра. Иная ситуация реализуется для моноклинных ( $\sigma \perp u \parallel c$ ) центров  $\text{Gd}^{3+}$ , локализованных в позиции лантана. После нахождения главной СК, которая достигается поворотом вокруг  $Z \parallel 3$  на угол  $-11.25^\circ$ , компоненты тензора становятся равными (в MHz):  $b_{40} = -21$ ,  $b_{42} = 97$ ,  $b_{44} = -153$ ,  $c_{42} = 26$ ,  $b_{41} = c_{41} = b_{43} = c_{43} = c_{44} = 0$ . Как видно, отношение  $b_{44}/b_{40}$  становится равным  $\approx 7.3$ ,

**Таблица 2.** Повороты (deg) осей кислородного октаэдра относительно структуры первовскита в его системе координат (два значения для углов из работ [8,15] соответствуют поворотам двух осей октаэдра, приблизительно ортогональным оси поворота;  $T = 295$  K)

Кристалл	Поворот вокруг осей			Литературная ссылка
	1	2	3	
$\text{LaGaO}_3$	8.6	8.5	4.7	[8]
	7.0	7.9	5.1	
$\text{LaGaO}_3$	8.1	8.0	4.5	[15]
	7.1	7.9	4.8	
$\text{LaGa}_{0.98}\text{Mn}_{0.02}\text{O}_3$	7.2(5)	8.2(5)	4.7(5)	Наст. раб.

**Таблица 3.** Углы Эйлера (deg) системы координат, в которой тензоры тонкой структуры второго ранга (1) триклинических центров  $\text{Cr}^{3+}$ ,  $\text{Mn}^{4+}$ ,  $\text{Fe}^{3+}$  приобретают ромбический вид с приведенными здесь параметрами

Параметр	$\text{Cr}^{3+}$	$\text{Mn}^{4+}$	$\text{Fe}^{3+}$
$\alpha$	106	87.4	86.7
$\beta$	14.1	11.6	10.9
$\gamma$	177.4	208.0	155.6
$b_{20}$ , MHz	3081	3759	2532
$b_{22}$ , MHz	2448	2302	2862

что свидетельствует о большом искажении двенадцатикратного окружения  $\text{La}^{3+}$ . В связи с этим полученный угол поворота СК нельзя связывать с поворотом кислородного окружения, что отмечалось и в работе [5].

Остальные ненулевые параметры, остающиеся в тензоре четвертого ранга после перехода в главную систему координат, обусловлены деформацией окружения, вызванной поворотами октаэдров вокруг трех ортогональных направлений, и поворотами СК не могут быть обнулены. Анализ тензоров тонкой структуры второго ранга центров  $\text{Cr}^{3+}$ ,  $\text{Mn}^{4+}$  и  $\text{Fe}^{3+}$ , обусловленных исключительно деформацией кислородного октаэдра, показал (табл. 3), что их главные оси (в предположении ромбической симметрии) локализованы вблизи оси  $z$ , т. е. оси [110] структуры первовскита (рис. 4).

4. В работах [12,13] развит метод построения спинового гамильтонiana парамагнитного иона с синглетным основным состоянием и спином  $\leq 5/2$  в низкосимметрических фазах кристалла, испытывающего структурные фазовые переходы. Получена явная связь параметров  $H_{sp}$  иона, локализованного в  $A$ - или  $B$ -позициях первовскита  $ABX_3$ , с углами поворота октаэдров структуры для любой комбинации ротационных мод. Так, для вкладов в параметры тензора тонкой структуры второго ранга, обусловленных параметрами порядка, для иона в пози-

ции  $B$  получены следующие выражения:

$$\begin{aligned} \Delta b_{20} = & a_1(2\psi_z^2 - \psi_x^2 - \psi_y^2) + a_2(2\varphi_z^2 - \varphi_x^2 - \varphi_y^2) \\ & + a_3(2\varphi_z\psi_z - \varphi_x\psi_x - \varphi_y\psi_y) + a_4(\varphi_x\varphi_y\varphi_z - \varphi_y\varphi_x\varphi_z) \\ & + a_5(\varphi_x\psi_y\psi_z - \varphi_y\psi_x\psi_z), \\ \Delta b_{22} = & 3a_1(\psi_x^2 - \psi_y^2) + 3a_2(\varphi_x^2 - \varphi_y^2) \\ & + 3a_3(\varphi_x\psi_x - \varphi_y\psi_y) \\ & + a_4(-2\psi_z\varphi_x\psi_y + \varphi_x\psi_y\varphi_z + \varphi_y\varphi_x\varphi_z) \\ & + a_5(-2\varphi_z\varphi_x\psi_y + \varphi_x\psi_y\psi_z + \varphi_y\psi_x\psi_z), \\ \Delta b_{21} = & a_6\psi_z\psi_x + a_7\varphi_z\varphi_x + a_8(\psi_z\varphi_x + \varphi_x\varphi_z) \\ & + a_9\psi_y(\psi_z^2 - \psi_x^2) + a_{10}\varphi_y(\varphi_z^2 - \varphi_x^2) \\ & + a_{11}\psi_y(\varphi_z^2 - \varphi_x^2) + a_{12}\varphi_y(\psi_z^2 - \psi_x^2) \\ & + a_{13}\psi_y(\varphi_z\psi_z - \varphi_x\psi_x) + a_{14}\varphi_y(\varphi_z\psi_z - \varphi_x\psi_x), \\ \Delta c_{21} = & a_6\psi_y\psi_z + a_7\varphi_y\varphi_z + a_8(\psi_y\varphi_z + \psi_z\varphi_y) \\ & + a_9\psi_x(\psi_y^2 - \psi_z^2) + a_{10}\varphi_x(\varphi_y^2 - \varphi_z^2) \\ & + a_{11}\psi_x(\varphi_y^2 - \varphi_z^2) + a_{12}\varphi_x(\psi_y^2 - \psi_z^2) \\ & + a_{13}\psi_x(\varphi_y\psi_y - \varphi_z\psi_z) + a_{14}\varphi_x(\varphi_y\psi_y - \varphi_z\psi_z), \\ \Delta c_{22} = & 1/2[a_6\psi_x\psi_y + a_7\varphi_x\varphi_y + a_8(\psi_x\varphi_y + \varphi_y\varphi_x) \\ & + a_9\psi_z(\psi_x^2 - \psi_y^2) + a_{10}\varphi_z(\varphi_x^2 - \varphi_y^2) \\ & + a_{11}\psi_z(\varphi_x^2 - \varphi_y^2) + a_{12}\varphi_z(\psi_x^2 - \psi_y^2) \\ & + a_{13}\psi_z(\varphi_x\psi_x - \varphi_y\psi_y) + a_{14}\varphi_z(\varphi_x\psi_x - \varphi_y\psi_y)], \quad (2) \end{aligned}$$

где  $a_i$  — феноменологические спин-ротационные параметры, оси координат совпадают с осями четвертого порядка перовскита.

Воспользуемся приведенными выражениями. Согласно (2), для высокотемпературной фазы ( $\varphi_x, \varphi_y, \varphi_z$ ) в системе координат перовскита, учитывая, что  $\varphi_x = \varphi_y = \varphi_z = \varphi$ , получаем

$$\Delta b_{20} = \Delta b_{22} = 0,$$

$$\Delta b_{21} = \Delta c_{21} = 2\Delta c_{22} = a_7\varphi^2. \quad (3)$$

Поскольку в фазе перовскита тензор тонкой структуры второго ранга отсутствует,  $\Delta b_{2m} = b_{2m}$ ,  $\Delta c_{2m} = c_{2m}$ . В результате поворота СК ( $z \parallel C_3$ ) тригонального центра  $\text{Fe}^{3+}$  в кубическую СК перовскита имеем следующий набор параметров:

$$b_{20} = b_{22} = 0, \quad b_{21} = c_{21} = 2c_{22} = 7328 \text{ MHz}, \quad (4)$$

структурой которого идентична структуре (3), предсказываемой формулами (2).

В низкотемпературной фазе ( $\varphi_x, \varphi_y, \psi_z$ ), согласно (2), феноменологический параметр  $a_7$  (СК перовскита) присутствует только в выражении для  $c_{22}$

$$c_{22} = 1/2[a_7\varphi_y\varphi_x + a_{11}\psi_z(\varphi_x^2 - \varphi_y^2)]. \quad (5)$$

Второе слагаемое в квадратных скобках обращается в нуль, поскольку для кристалла с пространственной группой  $Pbnm$   $\varphi_x = \varphi_y$ , различие экспериментальных значений  $\varphi_x$  и  $\varphi_y$  в табл. 2, по-видимому, обусловлено погрешностями. В системе координат перовскита тензор тонкой структуры триклинических центров  $\text{Fe}^{3+}$  (табл. 1) будет иметь следующий вид (в MHz):

$$b_{20} = -350.5, \quad b_{21} = -1767, \quad b_{22} = 346.5,$$

$$c_{21} = 4828.8, \quad c_{22} = 4509.5.$$

Подставляя значение  $c_{22}$ , а также экспериментальные величины  $\varphi_y$  и  $\varphi_x$  из табл. 2 в формулу (5), получим  $a_7 = 152.7 \text{ MHz}/\text{deg}^2$ . Приравнивая выражения (3), (4) и подставляя  $a_7$ , находим  $\varphi = 6.9^\circ$ . В результате векторного сложения равных поворотов вокруг тетрагональных осей  $\varphi_x, \varphi_y, \varphi_z$  для поворота кислородного октаэдра вокруг  $C_3$  при  $T = 438 \text{ K}$  получим значение  $= 12.0^\circ$ . Авторами [9] в результате экспериментов по рассеянию нейтронов для угла поворота октаэдра вокруг тригональной оси вблизи структурного перехода получена величина  $11^\circ$ . Таким образом, и в ромбоэдрической фазе парамагнитный зонд  $\text{Fe}^{3+}$  дает для параметра порядка значение, близкое к величине для чистого кристалла.

Аналогичные расчеты для тензоров тонкой структуры второго ранга центров  $\text{Mn}^{4+}$  и  $\text{Cr}^{3+}$  в предположении, что развороты октаэдров этих ионов при комнатной температуре равны разворотам, полученным на центрах  $\text{Fe}^{3+}$ , для углов вращения октаэдра вокруг  $C_3$  дают  $13.3$  и  $13.4^\circ$  соответственно. Этот результат является весомым аргументом в пользу того, что центры  $\text{Mn}^{4+}$  и  $\text{Cr}^{3+}$  также оказывают достаточно слабое влияние на величину поворотов кислородных октаэдров при фазовых переходах в  $\text{LaGaO}_3$ .

Авторы благодарят Г.Б. Лутца и В.А. Ацаркина за образцы легированного марганцем галлата лантана, М.В. Черницкого за предоставление зависимостей  $b_{nm}(\varphi, \psi)$  и  $c_{nm}(\varphi, \psi)$ , Г.С. Шакурова за помощь в обработке результатов.

## Список литературы

- [1] В.А. Ацаркин, В.В. Демидов, Д.Г. Готовцев, Н.Е. Ногинова, Д. Байток, Р. Бах. ЖЭТФ **126**, 229 (2004).
- [2] N. Noginova, E. Arthur, T. Weaver, G.B. Loutts, V.A. Atsarkin, D.G. Gotovtsev. Phys. Rev. B **69**, 024406 (2004).
- [3] N. Noginova, R. Bah, D. Bitok, V.A. Atsarkin, V.V. Demidov, S.V. Gudenko, J. Phys.: Cond. Matter **17**, 1259 (2005).
- [4] В.А. Важенин, А.П. Потапов, В.Б. Гусева, М.Ю. Артёмов. ФТТ **51**, 869 (2009).

- [5] В.А. Важенин, А.П. Потапов, В.Б. Гусева, М.Ю. Артёмов. ФТТ **52**, 480 (2010).
- [6] М.Л. Мейльман, М.И. Самойлович. Введение в спектроскопию ЭПР активированных монокристаллов. Атомиздат, М. (1977). С. 210.
- [7] С.А. Альтшуллер, Б.М. Козырев. Электронный параметрический резонанс. Наука, М. (1972). С. 121.
- [8] M.L. Sanjuan, V.M. Orera, R.I. Merino, J. Blasco. J. Phys.: Cond. Matter **10**, 11687 (1998).
- [9] C.J. Howard, B.J. Kennedy. J. Phys.: Cond. Matter **11**, 3229 (1999).
- [10] К.С. Александров, А.Т. Анистратов, Б.В. Безносиков, Н.В. Федосеева. Фазовые переходы в кристаллах галоидных соединений  $ABX_3$ . Наука, Новосибирск (1981). С. 85.
- [11] J.M. Baker, F.I.B. Williams. Proc. Phys. Soc. **78**, 1340 (1961).
- [12] М.В. Черницкий. Автореф. канд. дис. Урал. гос. ун-т, Свердловск (1989). 23 с.
- [13] М.В. Черницкий, В.А. Важенин, А.Е. Никифоров, А.Е. Усачев, А.И. Кроткий. М.Ю. Артемов. ФТТ **33**, 3577 (1991).
- [14] В.А. Важенин, М.Ю. Артемов. ФТТ **39**, 370 (1997).
- [15] W. Marti, P. Fischer, F. Altofer, H.J. Scheel, M. Tadin. J. Phys.: Cond. Matter **6**, 127 (1994).